

## ПАРАМЕТРЫ УДАРНОЙ ВОЛНЫ В ВОДЕ ВБЛИЗИ СФЕРИЧЕСКОГО ЗАРЯДА ВЗРЫВЧАТОГО ВЕЩЕСТВА

*B. N. Костюченко*

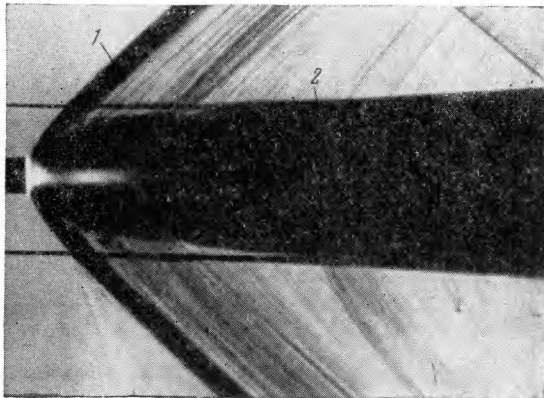
*(Москва)*

Параметры ударной волны подводного взрыва сферического заряда ВВ довольно широко исследованы экспериментально в области не очень больших давлений ( $\sim 1000$  атм [1, 2]). Однако ударные волны вблизи к заряду области изучены очень мало, что связано, видимо, с трудностями прямых методов измерения очень высоких давлений. В то же время, ряд задач, возникающих при исследовании подводного взрыва вблизи преград или границы раздела разных сред (например, вблизи свободной поверхности воды или у дна водоема), требует для своего решения знания параметров ударной волны вблизи к заряду зоне.

Ниже приводятся некоторые результаты экспериментальных исследований этих параметров.

**1. Описание эксперимента.** Исследовался взрыв сферических зарядов весом 0.85 г. Заряды прессовались из тэна, плотность зарядов составляла  $1.54 \text{ г}/\text{см}^3$ , радиус зарядов  $R_0 = 5.1 \text{ мм}$ . Инициирование взрыва осуществлялось пережиганием магнитного мостика, помещенного в центр заряда, импульсом тока высокого напряжения. Фронт ударной волны и граница газового пузыря фотографировались при помощи полуавтоматической установки прибором ЖФР [3]. Типичная фотография развертки процесса взрыва во времени приведена на фиг. 1 (щель регистратора ЖФР совмещена с центром изображения заряда, время возрастает слева направо).

Фиг. 1. Фотография развертки процесса взрыва во времени (1—фронт ударной волны, 2—граница продуктов взрыва; время возрастает слева направо)



**2. Давление во фронте ударной волны.** Фотография развития процесса позволяет непосредственно получить зависимость радиуса расширения сферического фронта ударной волны  $R$  от времени. Графическим дифференцированием этой зависимости определялась скорость фронта  $N$  на различных расстояниях от центра заряда.

Используя ударную адиабату воды [4, 5] и зная величину скорости фронта  $N$ , можно рассчитать параметры фронта ударной волны (давление  $p$ , массовую скорость  $u$ , скорость звука  $c$  и т. д.). На фиг. 2 в логарифмическом масштабе представлены определенные таким образом давления во фронте волны  $p$  в тысячах атмосфер (кружочки) на различных приведенных расстояниях  $h = R/R_0$ .

Из фиг. 2 видно, что давление во фронте довольно быстро спадает с расстоянием, причем в области  $1.5 \leq h \leq 6$  экспериментальные точки хорошо описываются зависимостью  $p = 80000 h^{-2}$  атм.

На больших расстояниях затухание давления происходит медленнее, приближаясь к зависимости, полученной для примерно таких же зарядов путем непосредственного измерения давления в ударной волне пьезодатчиками [2] (на фиг. 2 эта зависимость показана пунктирной линией). Определение скорости фронта на поверхности заряда ( $h = 1$ ) затруднено. Однако вычисленная по экспериментальным данным величина давления в ударной волне (120—140 тыс. атм) согласуется с оценкой этого давления из распада разрыва на границе продуктов взрыва — вода. На фиг. 2 представлена зависимость давления от расстояния, рассчитанная Кирквудом и Бринкли [1] (штрих-пунктирная линия). Расхождение экспериментальных и теоретических величин (в особенности вблизи заряда) объясняется тем, что в теории Кирквуда — Бринкли не учитывается влияние детонационной волны.

Экспериментальные данные [6], показанные на фиг. 2 крестиками, лежат заметно ниже наших. Это, видимо, можно объяснить искажениями в записях давления, неизбежно возникающими из-за сравнительно больших размеров датчиков, использовавшихся в этой работе.

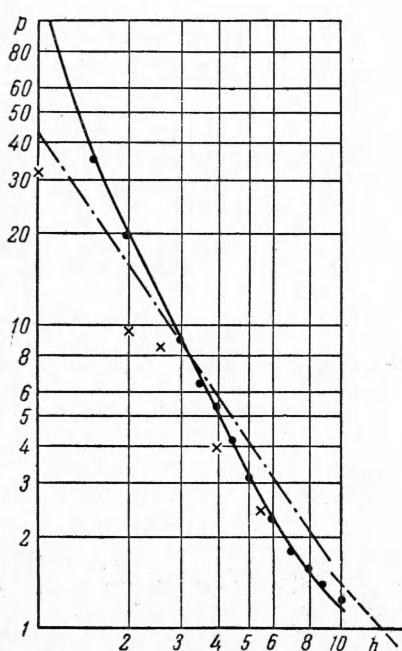
3. Постоянная времени  $\theta$ . Используя уравнения гидродинамики и зная зависимость давления во фронте ударной волны от расстояния, можно определить производную по времени от давления за фронтом  $\partial p / \partial t$ . Для четырех неизвестных  $\partial p / \partial t$ ,  $\partial p / \partial R$ ,  $\partial u / \partial t$ ,  $\partial u / \partial R$  на фронте волны имеем систему уравнений

$$\frac{1}{c^2} \frac{\partial p}{\partial t} + \frac{u}{c^2} \frac{\partial p}{\partial R} + \rho \frac{\partial u}{\partial R} = - \frac{2up}{R}$$

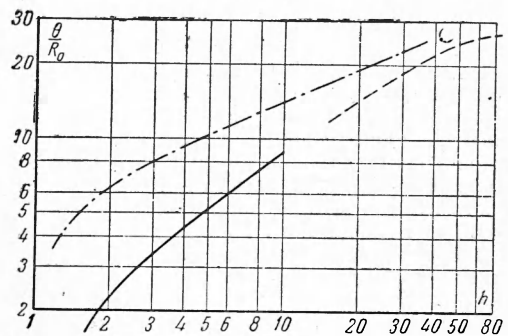
$$\frac{\partial u}{\partial t} + u \frac{\partial u}{\partial R} = - \frac{1}{\rho} \frac{\partial p}{\partial R}$$

$$\frac{du}{dR} = \frac{\partial u}{\partial R} + \frac{1}{N} \frac{\partial u}{\partial t}, \quad \frac{dp}{dR} = \frac{\partial p}{\partial R} + \frac{1}{N} \frac{\partial p}{\partial t}$$

Здесь  $N$ ,  $p$ ,  $u$ ,  $c$ ,  $\rho$ ,  $dp/dR$ ,  $du/dR$  будут известными функциями расстояния.



Фиг. 2



Фиг. 3

Предположим, что давление в ударной волне в данной точке спадает со временем по экспоненциальному закону с постоянной времени  $\theta$ , как это обычно имеет место на больших расстояниях от заряда. Используя соотношение

$$\frac{1}{\theta} = - \frac{\partial}{\partial t} \ln p$$

получим из уравнений следующее выражение

$$\frac{1}{\theta} = - \frac{N}{1 - [(N-u)/c]^2} \left[ \left( 1 + \frac{(N-u)u}{C^2} \right) \frac{d}{dR} \ln p + \frac{\rho N}{p} \frac{du}{dR} + \frac{2}{R} \right]$$

Результаты вычислений  $\theta$  представлены в логарифмическом масштабе на фиг. 3 (сплошная линия) в виде зависимости  $\theta/R_0$  от  $h$  ( $h$  в мк сек,  $R_0$  в см). Как можно видеть, они хорошо согласуются с результатами, полученными путем непосредственного измерения  $\theta$  по эпюре давления ударной волны [2] (пунктирная кривая). На этой же фигуре показана зависимость  $\theta/R_0$  от  $h$ , рассчитанная по теории Киркуда — Бринкли [1] (штрих-пунктирная линия). Заметное расхождение расчетной и определенной по экспериментальным данным кривых объясняется той же причиной, о которой говорилось при обсуждении результатов по давлению.

Интересно отметить, что экспоненциальный закон изменения давления в данной точке со временем дает для небольших расстояний  $h \ll 3$  давление на границе вода — газовый пузырь, близко совпадающие с давлением в продуктах взрыва, вычисленным из адиабаты продуктов взрыва Джонса [1].

Поступила 4 III 1961

#### ЛИТЕРАТУРА

- Коул Р. Подводные взрывы. ИИЛ, 1950.
- Христофоров Б. Д. Параметры ударной волны и газового пузыря при подводном взрыве зарядов из тэнна малого веса. ПМТФ, 1960, № 2.
- Дубовик А. С., Чурбаков А. И. Высокоскоростной фоторегистратор непрерывного действия ЖФР. Оптико-механическая промышленность, 1959, № 1.
- Rice M. H., Walsh I. M. Equation of State of water to 250 kilobars. Jour. Chem. Phys., 1957, Vol. 26, No. 4.
- Альтшuler Л. В., Баканова А. А. и Трунина Р. Ф. Фазовые превращения при сжатии воды сильными ударными волнами. ДАН СССР, 1953, т. 121, № 1.
- Webb A. H. Under-water explosion measurements from small charge of short ranges. Phil. Trans. R. Soc. 1951, Vol. 244, No. 879.